

従動走行荷重を受ける梁の動的挙動について

山口大学 正員・會田忠義
学生員 小松茂生
川田工業 三浦洋一

まえがき 一般の鉄道車両のバネ作用も含めて、走行にともなう軌道に及ぼす周期性外力は橋面に垂直に作用しながら移動する。これらは橋のねじり回転にともなって、その作用方向がねじり回転に追従する成分をもつことが予想される。磁選浮式鉄道(リニアモータカー)においても同様である。従動荷重の梁に与える影響は荷重作用時のねじり角の大きさが問題である。これらの問題を、従動走行荷重を受ける梁に模型化し、单一および連続して従動走行荷重による挙動を調査してみよう。

運動方程式 荷重の質量を考慮し、走行荷重作用時の運動方程式を示す。Fig. 3に示す荷重 \bar{g}_y が梁のねじれ角 θ によってのみ従動するとき、荷重 \bar{g}_y の他に x 方向に $-\bar{g}_y \theta$ の荷重が生ずる。このとき、運動方程式は次式となる。

$$\left. \begin{aligned} m(\ddot{U}_s + Y_s \dot{\theta}) + EI_{xx} \ddot{U}_s^{(m)} + \bar{g}_y \theta - \bar{g}_x &= 0 \\ m(\ddot{V}_s - X_s \dot{\theta}) + EI_{yy} \ddot{V}_s^{(m)} - \bar{g}_y - \bar{g}_y &= 0 \\ \mu I_{ps} \ddot{\theta} + m(Y_s \ddot{U}_s - X_s \ddot{V}_s) + EI_{\omega}^s \dot{\theta}^{(m)} - GK \theta'' - \bar{g}_y (e_x - X_s) \\ - \bar{g}_y \theta (e_y - Y_s) - \bar{m}_s + \bar{g}_x (e_y - Y_s) - \bar{g}_y (e_x - X_s) &= 0 \end{aligned} \right\} \quad (1)$$

ここで、 m : 梁の単位長さ質量、 μI_{ps} : 慣性モーメント、 EI_{xx} および EI_{yy} : 曲げ剛性、 EI_{ω}^s : 曲げねじり剛性、 GK : ねじり剛性、 \bar{g}_y は走行速度 V 、荷重間隔 a の連行集中荷重 $P \cos \omega t$ (ω : 荷重振動数) を表すとき (Fig. 2 参照)。

$$\bar{g}_y = \begin{cases} P \cos \omega t \sum_{j=1}^n \delta(z - \xi(t, j)) & 0 \leq t < T_a \\ P \cos \omega t \sum_{j=1}^n \delta(z - \xi(t, j)) & T_a \leq t \leq T_p \end{cases} \quad (2)$$

式中、 δ : Diracのδ関数、 $T_a = \{l - (n-1)a\}/V$ 、 $T_p = a/V$ 、 $\xi(t, j) = VT + (j-1)a$ である。また、式(1)中、 \bar{g}_x 、 \bar{g}_y および \bar{m}_s は荷重質量にともなう附加慣性力およびそれによるモーメントを、Fig. 2 および 3 を参照するとき、次式で表わされる。

$$\bar{g}_x = \begin{cases} -m \sum_{j=1}^n \{ \ddot{U}_s - (e_y - Y_s) \dot{\theta} \} \delta(z - \xi(t, j)) & 0 \leq t < T_a \\ -m \sum_{j=1}^n \{ \ddot{U}_s - (e_y - Y_s) \dot{\theta} \} \delta(z - \xi(t, j)) & T_a \leq t \leq T_p \end{cases} \quad (3)$$

$$\bar{g}_y = \begin{cases} - \sum_{j=1}^n [W + m_e \{ \ddot{V}_s + (e_x - X_s) \dot{\theta} \}] \delta(z - \xi(t, j)) & 0 \leq t < T_a \\ - \sum_{j=1}^n [W + m_e \{ \ddot{V}_s + (e_x - X_s) \dot{\theta} \}] \delta(z - \xi(t, j)) & T_a \leq t \leq T_p \end{cases} \quad (4)$$

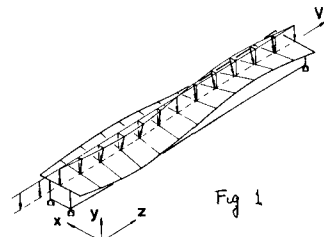


Fig. 1

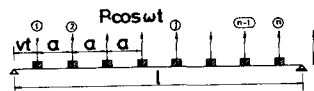


Fig. 2

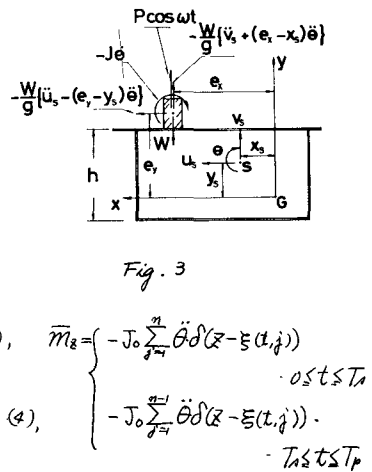


Fig. 3

式中、 W : 集中荷重の重量、 $m_e = W/g$ 、 J_0 : 荷重質量の慣性モーメント、また、式(1)中、 $(\cdot) = \partial/\partial t$ 、 $(\cdot') = \partial^2/\partial t^2$ を表す。

運動方程式(1)に近似解(6)を代入整理すると、式(7)となる。式(6)中、 P_k 、 ϕ_k および ψ_k は時間の未知関数、 U_{SR} 、 V_{SR} は梁の曲げ振動の k 次の固有関数、 θ_R はねじり振動の k 次の固有関数である。

$$\left. \begin{aligned} U_s &= \sum_{k=1}^N P_k(t) U_{SR}(z) \\ V_s &= \sum_{k=1}^N \phi_k(t) V_{SR}(z) \\ \theta &= \sum_{k=1}^N \psi_k(t) \theta_R(z) \end{aligned} \right\} \quad \dots (6)$$

$$\begin{aligned}
& \ddot{\rho}_k + \frac{ZM_0}{\rho_m} \sum_{i=1}^N \bar{f}_{ki}(t) \ddot{\rho}_i + y_s \ddot{\zeta}_k - ZM_0(\zeta_k - y_s) \sum_{i=1}^N \bar{f}_{ki}(t) \ddot{\zeta}_i + \omega_{ki}^2 \rho_k + \frac{ZP}{\rho_m} \sum_{i=1}^N f_{ki}(t) \ddot{\zeta}_i = 0 \\
& \ddot{\zeta}_k + \frac{ZM_0}{\rho_m} \sum_{i=1}^N \bar{f}_{ki}(t) \ddot{\rho}_i - x_s \ddot{\zeta}_k + \frac{ZM_0(\zeta_k - x_s)}{\rho_m} \sum_{i=1}^N \bar{f}_{ki}(t) \ddot{\zeta}_i + \omega_{ki}^2 \rho_k + \frac{Z}{\rho_m} (W \bar{g}_k(t) - Pg_k(t)) = 0 \\
& \frac{m_k}{\mu_{ps}} \ddot{\rho}_k - \frac{ZM_0(\zeta_k - y_s)}{\mu_{ps}} \sum_{i=1}^N \bar{f}_{ki}(t) \ddot{\rho}_i - \frac{m_k}{\mu_{ps}} \ddot{\zeta}_k + \frac{ZM_0(\zeta_k - x_s)}{\mu_{ps}} \sum_{i=1}^N \bar{f}_{ki}(t) \ddot{\zeta}_i + \ddot{\zeta}_k + \frac{Z}{\mu_{ps}} \{ J_0 + M_0(\zeta_k - y_s)^2 \\
& + M_0(\zeta_k - x_s)^2 \} \sum_{i=1}^N \bar{f}_{ki}(t) \ddot{\zeta}_i + \omega_{ki}^2 \rho_k - \frac{ZP(\zeta_k - y_s)}{\mu_{ps}} \sum_{i=1}^N f_{ki}(t) \ddot{\zeta}_i + \frac{Z(\zeta_k - x_s)(W \bar{g}_k(t) - Pg_k(t))}{\mu_{ps}} = 0 \\
& k=1, 2, \dots, N. \quad (7)
\end{aligned}$$

式中、 ω_{ki} , ω_{ki}^2 は i 次の曲げ固有円振動数、 ω_{ki}^2 は i 次のねじり固有円振動数であり、 f_{ki} や \bar{f}_{ki} はそれぞれそれぞれ、次式で表される。 \bar{f}_{ki} や \bar{g}_k は式(8)中の C_{ik} を削除した値に相当する。

$$f_{ki} = \begin{cases} \text{coswt} \sum_{j=1}^n \delta(z - \xi(z_j)) U_{kj} U_{sj} dz & 0 \leq t < T_0 \\ \text{coswt} \sum_{j=1}^n \delta(z - \xi(z_j)) U_{kj} U_{sj} dz & T_0 \leq t < T_p \\ \text{coswt} \sum_{j=1}^n \delta(z - \xi(z_j)) U_{kj} U_{sj} dz & T_p \leq t < T_p \end{cases} \quad (8)$$

式(8)は $3N$ 元の連立微分方程式となることから、次のようないマトリックス表すことができる。

$$(A + A_M(t))\dot{\rho} + (B + P C(t))\rho + d = 0 \quad (9), \quad \rho = \{ \rho_1, \rho_2, \rho_3, \rho_N, \zeta_1, \zeta_N \}^T$$

ここで、 A : 梁の復量行列、 A_M : 荷重の復量行列、 B : 対角線上に ω_{ki} , ω_{ki}^2 , ω_{ki}^2 を有する行列、 $C(t)$: 荷重の旋回成分からなる行列、 d : 荷重ベクトル。連行荷重の場合、 A_M や $P C$ は周期 $T = 9/4$ をもつ。

单一旋回走行荷重による挙動 単一荷重の場合、式(2), (3) や (4) はそれぞれ次式で表められる。

$$\begin{aligned}
& \bar{\rho}_y = \begin{cases} P \text{coswt} \delta(z - vt) & 0 \leq t < \frac{v}{w_k} \\ 0 & \frac{v}{w_k} \leq t < \infty, \end{cases} \quad \bar{\rho}_x = \begin{cases} -M_0 \{ i_s - (\zeta_k - y_s) \delta \} \delta(z - vt) & 0 \leq t < \frac{v}{w_k} \\ 0 & \frac{v}{w_k} \leq t < \infty, \end{cases} \\
& \bar{\rho}_y = \begin{cases} -[W + M_0 \{ i_s + (\zeta_k - x_s) \delta \}] \delta(z - vt) & 0 \leq t < \frac{v}{w_k} \\ 0 & \frac{v}{w_k} \leq t < \infty, \end{cases} \quad \bar{M}_x = \begin{cases} -J_0 \delta \delta(z - vt) & 0 \leq t < \frac{v}{w_k} \\ 0 & \frac{v}{w_k} \leq t < \infty, \end{cases}
\end{aligned}$$

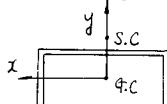


Fig. 4

$$\begin{aligned}
& \zeta_k/h = 1.0, \quad \zeta_y/h = 0.2956, \\
& y_s/h = 0.6837, \quad h/l = 0.05, \\
& I_{xx}/I_{zz} = 0.2709, \\
& W_{01}/W_{41} = 8.443 \times 10^{-6}, \\
& A/l^2/I_{ps} = 0.1020
\end{aligned}$$

Fig. 4 に示すΠ断面で、次の無次元諸量をもつ単純梁について、静荷重によるねじり角 $\theta_{st} = ZP(\zeta_k - x_s)/l \cdot EI_w^3(\frac{\pi}{l})^4 + GK(\frac{\pi}{l})^2$ の増加とともにとおり旋回荷重の影響を Fig. 5 に示し、荷重復量の影響を Fig. 6 に、荷重作用位置の Fig. 7 に示した。

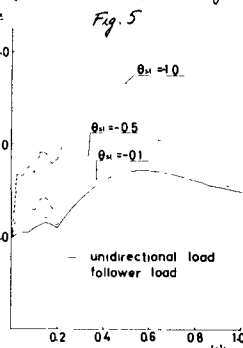


Fig. 5

Fig. 6

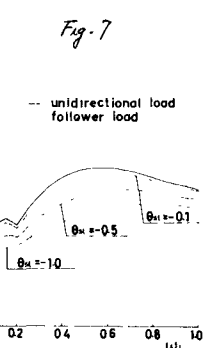
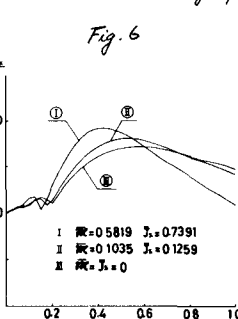


Fig. 7

連行旋回走行荷重による挙動 式(9)は $A_M(t)$ や $P C(t)$ が周期関数であることを考慮し、Hill型の方程式に相当し、不安定振動を起す解が存在する。上記の条件では、 $P/[EI_w^3(\frac{\pi}{l})^4 + GK(\frac{\pi}{l})^2] = -25$, $\omega = 0.2709/\sqrt{w_k} = 0.0589$ の場合、不安定振動を生じ、Fig. 8 (荷重復量なし), Fig. 9 (荷重復量) に挙動を示す。

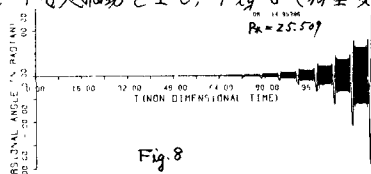


Fig. 8

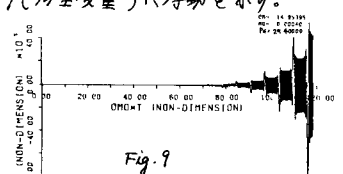


Fig. 9